

129. オビスギの材質特性

——木部細胞の構成について——

宮崎大学農学部 大塚 誠

早材から晩材への仮道管径の半径方向の減少、すなわち扁平化と細胞膜厚の肥厚は、密度の変化となり、さまざまな物理的性質、機械的性質の変動の一原因となると考えられる。そこで宮崎特産のオビスギ材の曲げ易いとか、浮力が大であるとかなどの、材質的特性を知る一つの手がかりを得るために、仮道管径、仮道管膜厚の早材から晩材への変動を調査し、年輪内の細胞構造を検討した。

供試木および実験方法

宮崎県歓肥営林署管内に生育する、胸高直径 35cm (129)、および 20cm (140) のオビスギ各 1 本を採取し、地上 4m 部分 (年輪数 34 個) を試料として、髓から 3, 5, 10, 20, 25, 30 年輪目の 6 年輪について、木口断面の永久標本を作り、早材部から晩材部まで連続して、仮道管の径 (半径方向、接線方向)、仮道管膜厚を測定し、早材部から晩材部へ移行する状態、細胞の大きさ等を検討した。またこれと比較するため、気象条件が似ている宮崎地方に生育するヨシノスギ (宮大田野演習林産) と、年輪幅が広く年輪構造が似

ている、大分県日田地方より採取したウラセバールについても、同様の測定を行なった。

結果と考察

早材から晩材への材色の推移は、材の密度の変化を反映していて、仮道管の半径方向径の減少 (扁平化) と、細胞膜厚の肥厚に密接な関連をもち、早材より徐々に材色が濃くなる部分、年輪界近くの非常に濃色となる部分とに分けられる。オビスギでは、早材より徐々に濃色となる部分が広く、年輪界にそって非常に濃色の部分が線となって認められる。

晩材部における仮道管の半径方向径、細胞膜厚の変化は、図-1 に示すように、年輪によって多少の相異はあるが、年輪界より約 0.1mm、細胞数にして約 10 細胞は、半径径、膜厚ともにほぼ同じ大きさであるが、それ以後早材方向に向って急に半径径を増し、膜厚は厚さを減じる。

オビスギ、ヨシノスギ、ウラセバールについて、各年輪の測定値を平均して、図-2 に模式的に示す。年輪内の仮道管の寸度変化は、接線方向径の変動は少ない

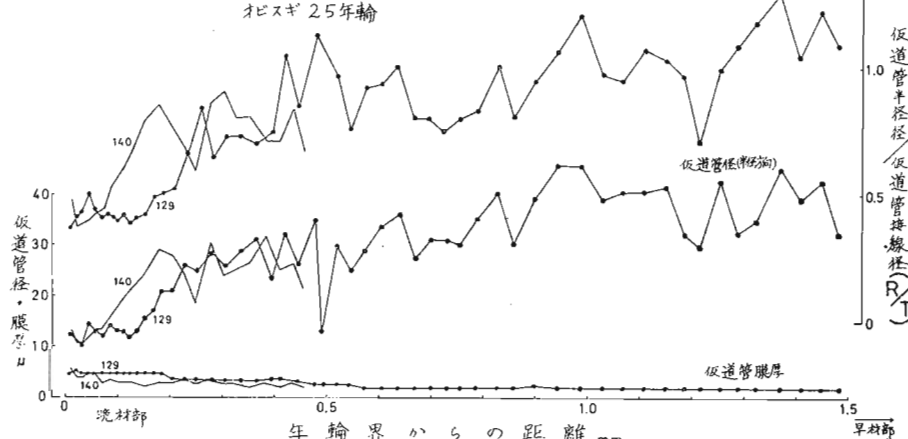


図-1 晩材部における仮道管径・仮道管膜厚・R/Tの変化

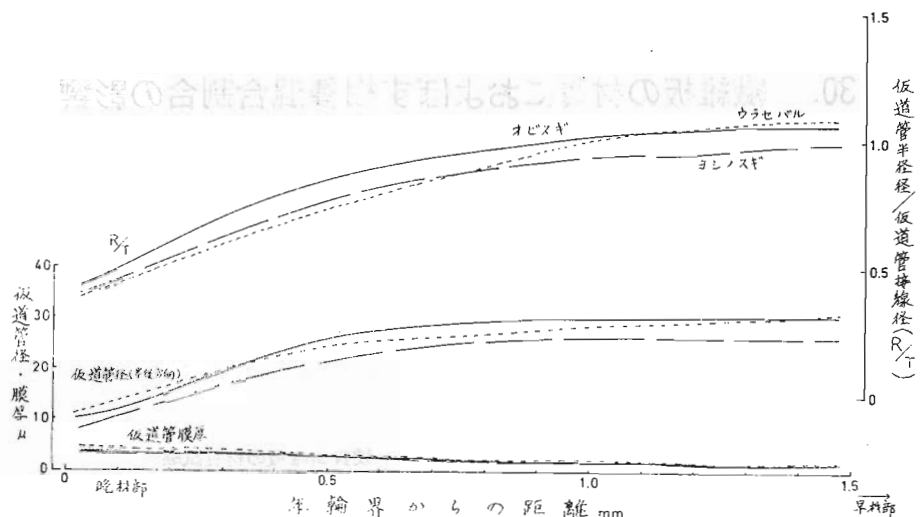


図-2 晩材部における仮道管径・仮道管膜厚・R/Tの変化

が、半径方向径の変化が大きく、年輪の構造を左右する。オビスギでの仮道管半径方向径の変化は、年輪界より0.3mm程度の所までは徐々に減少し、それ以後年輪界より0.1mm前後の位置まで急激に変化して、年輪界の材色が濃い部分を形成する最小の細胞となる。仮道管の扁平度を示すR/Tは、仮道管径の変動と同じ変化をし、晩材部細胞の変動曲線は、ヨシノスギ、ウラセバールよりも凸な曲線となって現わされる。しかし細胞膜の肥厚は、3樹種ほとんど同じような変化をしている。

年輪幅を百分率であらわし、仮道管の早材部から晩材部への寸度変化を見ると、オビスギは年輪幅約45%はR/T<1の部分で、晩材部とみなされる部分が、ヨシノスギ、ウラセバールよりはるかに広い。プレパラートを低倍率で投影し、年輪界から材色が変化する晩材部の幅を測定し、その幅までの仮道管のR/T

を測定すると、大約0.8となり、R/T=1となる仮道管の位置とあまり大差がなかったので、仮道管のR/T<0.8の部分を晩材部として、仮道管径、膜厚の平均値を求め、表-1に示した。早材部、晩材部の仮道管寸度の差を見ると、半径方向径でオビスギは約3倍、ヨシノスギは4倍近くあるが、接線方向径、膜厚は3樹種ほとんど同じ比率を示した。

このようにオビスギは、晩材部を形成する仮道管の半径方向径の、変化度合もゆるやかな部分が多く、早、晩材部における、仮道管径の差も少ないと考えられる。

参考文献

佐伯：木材学会誌，Vol 9, No. 5, 1963年12月

表 一 1

	仮道管内径(μ)						仮道管膜厚(μ)			
	晩材部(L)		早材部(E)		E/L		晩材部(L)	早材部(E)	L/E	
	半径方向	接線方向	半径方向	接線方向	半径方向	接線方向				
オビスギ (大)	129	9.8±5.59	23.5±5.13	29.9±7.21	27.6±5.21	3.06	1.18	3.6±0.82	2.0±0.40	1.77
オビスギ (小)	140	8.4±5.05	19.2±4.49	25.9±5.46	22.7±4.78	3.08	1.18	3.4±0.71	2.1±0.35	1.63
ヨシノスギ	7.7±5.00	20.1±4.79	29.3±7.80	25.0±6.96	3.83	1.24	3.6±0.82	2.0±0.37	1.81	
ウラセバール	11.0±6.12	26.5±7.94	34.7±10.62	33.0±9.97	3.16	1.24	3.9±0.95	2.1±0.28	1.88	